

تکثیر لولهای بنیادی خون از بند ناف بر روی ترهای نانوالیاف زیدت صورت هم‌شتبه ای انسینتی اسلولهای بنیادی انسینمی تخوان

مجید مختاری^۱ (Ph.D Student)، آزاده انبارلو^۲ (M.Sc)، امیر آتشی^{۱*} (Ph.D)، مسعود سلیمانی^۱ (M.Sc)، مهشید اخوان رهنما^۱

۱- گروه هماتولوژی، دانشکده علوم پزشکی، دانشگاه تربیت مدرس، تهران، ایران

۲- گروه هماتولوژی، دانشکده علوم پزشکی، دانشگاه علوم پزشکی تبریز، تبریز، ایران

چکیده

هدف: سلولهای بنیادی خون باز (Hematopoietic Stem Cells, HSCs) برای بیماری‌های بیم و غیر خیمی می‌آیند. حدودیت اصلی این ابتدا نبندناف در پیشنهاد تخوان، از کم HSCs ناف است. بنابراین سیستم مختلفی برای پرورش HSCs رایج نیست. رایط آزمایشگاهی (ex vivo) برای این حدودیت را حل کرد. هدف از این اعده مقایسه شرایط زیدت صورت ex vivo HSCs می‌شد.

روش‌ها: دین‌تلور HSCs در محیط بعدی (2D)، هم‌شتبه اسلولهای بنیادی انسینمی (MSCs) در محیط 2D-Co بعدی (2D-Co)، شکلیل از نانوالیاف پلی‌ولفون (3D) (PES) در محیط بعدی نانوالیاف PES، هم‌شتبه اسلولهای MSCs (3D-Co) ایجاد شدند که عبارتند از: در محیط بعدی (2D)،

بیان الاتری انجربنیادینگی CD34+ به سایر روش‌های دارای چنین تکنیکی را نمود. همچنین تکنیکی را نمود. به این تفاوت سایر روش‌های مطالعه افزایش نداداری داشت.

نتایج این امکان بدیر استفاده از این سیستم امت تکثیر اقل تمايز لولهای CD34+ مطالعات بیشتر دارد. نانوالیاف پلی‌ولفون ارزیابی لولهای تکثیر یافته این سیستم استفاده در این روری است.

کلیدی: وند لولهای ساز، نانوالیاف، ادی انسینمی، خون هم‌شتبه

مقدمه

سلولهای بنیادی خون‌ساز (HSCs) سلولهایی هستند که دارای توانایی تمایز به انواع سلولهای خونی می‌باشند [۲، ۱]. این سلول‌ها را می‌توان از افراد سالم از طریق آسپیراسیون مغز استخوان، موبیلیزاسیون سلولهای بنیادی به خون محیطی و یا خون بند ناف به دست آورد. در سه دهه اخیر توجه ویژه‌ای

کشت‌های دو بعدی تنها یک تک لایه‌ای از سلول‌ها را برخلاف طبیعت سه بعدی بافت در ارگانیسم ایجاد می‌کند. بنابراین، مدلی مناسب برای بر هم کنش سلولی به حساب نیامده و مستعد زیان‌های هیدرودینامیکی محیط است [۱۱-۱۳]. در کشت سه بعدی، هدف افزایش نسبت سطح به حجم و در نتیجه افزایش سطح تماس و اتصال برای سلول می‌باشد. در صورتی که در محیط دو بعدی حداقل اتصال و سیگنال بین سلولی وجود دارد [۱۴، ۱۳، ۱۱]. در این مطالعه از پلیمر پلی‌اتر سرلفون به دلیل تخلخل مناسب و مشابه با مغز استخوان، زیست سازگاری و نیز عدم زیست تخریب‌پذیری برای ایجاد محیط سه بعدی استفاده شد. چون ترکیبات حاصل از زیست تخریبی بسیاری از داربست‌ها سبب تغییر بیولوژی سلول بنیادی در محیط *in vitro* می‌شوند. مثلاً تخریب پلی‌ال‌لکتیک اسید PLLA سبب تولید اسید‌لکتیک می‌شود که بیان زنی سلول بنیادی را تغییر می‌دهد [۱۶، ۱۵]. هدف از این مطالعه مقایسه کشت دو بعدی با سه بعدی و هم‌چنین ارزیابی نقش حمایتی MSCs در تکثیر توام با حداقل تمايز HSCs می‌باشد.

مواد و روش‌ها

۱۰ اسازی . کشت سلول‌های بنیادی انسانیمی ۰۰ محیط ۰۰ بعدی . ۰۰ بعدی سلول‌های بنیادی مزانشیمی مشتق از مغز استخوان انسان از مرکز تحقیقات فناوری بن یاخته تهیه شدن. 2×10^4 عدد سلول بنیادی مزانشیمی بر روی هر یک از داربست‌های ساخته شده و هم‌چنین پلیت مربوط به کشت دو بعدی انتقال داده شد [۱۷] و برای ۶ روز در این وضعیت قرار گرفتند و هر سه روز یکبار تعویض محیط با DMEM حاوی ۱۰% FBS (Gibco) انجام گرفت.

آماده سازی . ۱۰ سست جهت ساخت نانوآلیاف‌های PES از فرایند الکترورسی استفاده شد. برای تهییه محلول با غلظت ۱/۲۲ گرم پلی‌اتر سولفون با وزن مولکولی (%w/v) ۸٪، دالتون (سیگما-آلدریش) در ۹ سی‌سی کلروفرم و ۱۰۰۰ سی‌سی N,N-دی‌متیل فرمامید (DMF) در دمای اتاق با

خون بدناف گروههای متعددی بر روی تکثیر HSCs در محیط ex vivo تمرکز کرده‌اند. متاسفانه تکثیر HSCs در vivo مشکل است زیرا همان‌طور که سلول‌ها تکثیر می‌یابند تمایل به تمایز نیز دارند که احتمالاً به دلیل حذف اثرات مناسبی است که به‌واسطه ریزمحیط (microenvironment) در وجود HSCs عمدها در مغز استخوان و در vivo یک ریزمحیط خاص که نیچ یا کنام سلول‌های بنیادی نامیده می‌شود قرار دارند و این ریزمحیط سرنوشت سلول، خودنوزایی و تمایز آن‌ها را تنظیم می‌کند [۵]. سلول‌های مختلفی نظیر سلول‌های بنیادی مزانشیمی (MSCs)، استئوبلاست‌ها، آدیپوسیت‌ها و فیبروبلاست‌ها و هم‌چنین ماتریکس خارج سلولی تشکیل‌دهنده ریزمحیط مغز استخوان می‌باشند. مطالعات اخیر نشان داده است که شبیه‌سازی اجزا MSCs HSCs با نیچ سلول‌های بنیادی از جمله هم‌کشتی HSCs با خودنوزایی را تسهیل و تمایز در ex vivo را کنترل می‌کند [۷، ۶].

MSCs از مهم‌ترین سلول‌های حمایت‌کننده خون‌سازی می‌باشند. این سلول‌ها به صورت چسبیده به پلاستیک رشد کرده و دارای مارکرهای سطحی CD105، CD90، CD73، CD16 و HLA-ABC CD16 و HLA-DR CD80، CD34، CD31 مستقیم سلول-سلول، ترشح یا مهار سایتوکاین‌های اندوژن و تشکیل یک شبکه ماتریکس خارج سلولی کنترل می‌کنند. در میان فاکتورهای مختلف ترشح شده از MSCs، کموکاین (SDF-1) CXCL12 که یک تنظیم‌کننده مهم خون‌سازی و لانه‌گزینی HSCs است وجود دارد. سطوح بالای SDF-1 در سیستم‌های هم‌کشتی MSC منجر به کاهش تنظیمی طیف وسیعی از سایتوکاین‌ها و کموکاین‌های دخیل در تمایز HSCs می‌شود ۱ SDF-1 هم‌چنین سایتوکاین‌هایی را که مانع خودنوزایی HSCs می‌شود را کاهش می‌دهد [۱۰، ۹]. محیط‌های کشت دو بعدی علی‌رغم سادگی، محدودیت‌هایی از جمله ظرفیت پایین کشت محصول را دارند.

۴٪ رنگ آمیزی و درصد سلول‌های زنده محاسبه شدند. شمارش سلولی در روزهای ۵ و ۱۰ انجام گرفت. باسایر متري ميزان خلوص سلول‌های CD34 عبور داده شده از ستون MACS با استفاده از فلوسایتومتری (ABI) Attune Flow cytometer) مورد ارزیابی قرار گرفت. سلول‌ها به مدت ۴۵ دقیقه در دمای ۴ درجه سانتيگراد با آنتى‌بادی (Miltenyi Biotec) CD34-PE (Miltenyi Biotec) انکوبه شدند. به عنوان ايزوتاپ کنترل مورد استفاده قرار گرفت. ارزیابی سلول‌های CD34⁺ در روزهای ۵ و ۱۰ نيز صورت گرفت.

ست کلني توانايي کلنزيابي سلول‌ها قبل و بعد از هم‌کشتی با MSCs مورد ارزیابی قرار گرفت. ۵۰۰ سلول methocult H4435 (Stem Cell Technologies Inc.) در ۱/۱ میلی‌لیتر محیط مخلوط شدند. سپس پلیت‌ها در ۳۷ درجه سانتي‌گراد به مدت ۱۴ روز انکوبه شدند. تعداد کلنی‌ها بعد از ۱۴ روز با میکروسکوپ معکوس شمارش شدند. آنالیز آماری تمامی تست‌ها به صورت سه بار تکرار انجام شدند. آنالیز آماری با استفاده از نرم‌افزار GraphPad one (PRISM V 5.0 analytical Software) و روش آماری ANOVAs way انجام گرفت. معناداری کمتر از ۰/۰۵ (P value<۰/۰۵) در نظر گرفته شد.

نتایج

نتایج آ: مون‌های ناص فیزیکی. ۱. بست‌ها نتایج تصاویر میکروسکوپ الکترونی پویشی نشان داد که داربست‌های نانواليافی پلی‌اتر سولفون دارای ساختاري متخلخل، يکتواخت با حفره‌های مرتبط هستند (شکل ۱-۱ و ۲-۱) که آن‌ها را برای استفاده در مهندسي بافت مناسب می‌سازد. همچنان حفره و تخلخل‌های داربست در اندازه‌ی نانو هستند که باعث می‌شود نسبت سطح به حجم در اين مقیاس افزایش یافته و به همین نسبت قدرت اتصال سلول‌ها افزایش یابد.

نتایج - آ: مطالعه سلول‌های CD34⁺ . ضعیت مطالعه سلول‌های CD34⁺ در محیط دو

سرعت ۱۰۰ دور بر دقیقه روی همزن به مدت ۴ ساعت حل و همگن شد. سپس محلول به داخل سرنگ کشیده شد و پس از هواگیری در انتهای پمپ قرار گرفت تا رسیدگی بر روی آن انجام گیرد. ولتاژ به کار رفته ۲۲ کیلوولت و فاصله‌ی نازل تا جمع‌کننده ۲۳ سانتي‌متر تنظیم شده بود. سطح جمع‌کننده با ورقه‌ی نازک آلومینیومی پوشانده شد و الیاف بر روی پوشش آلومینیومی جمع‌آوري گردید. صفحات نانواليافی تولید شده به مدت یک روز در آون خلاء نگهداري و حلال‌زدابی شدند.

۱. زیابی . فولوژی ۱۰. بست‌ها

سطح نمونه‌ها با ضخامتی حدود ۱۲ نانومتر طلا با استفاده از دستگاه اسپوتکوتر (شرکت Bal-Tec از کشور سوئیس) پوشش داده شدند. نمونه‌های پوشش دار به منظور مشاهده به میکروسکوپ SEM (مدل XL30 ساخت شرکت فیلیپس از کشور هلند) منتقل و عکس‌برداری انجام شد.

۲. اسازی . لول‌های CD34⁺ خون بند ناف توسط مامای CPDA1 بخش زایمان در کيسه‌های خون حاوی ضد انعقاد گرفته شد و قبل از رضایت‌نامه آگاهانه برای تمامی نمونه‌ها گرفته شد. سلول‌های تک هسته‌ای با استفاده از فایکول (GE Healthcare) از خون بند ناف جدا سازی شدند. سلول‌های CD34 MicroBead تک هسته‌ای جدا شده در مجاورت (human-Miltenyi Biotec) منتقل شدند. در انتهای سلول‌ها جمع‌آوري و به MACS محتوي StemSpanTM (Stem cell technologies Inc.) محیط mmol/l FLT-3L (Peprotech) ،SCF ،TPO و ۱ X Antibiotic ۲ و ۱ متنقل شدند [۱۸].

کشت . لولی ۱۰^۵ از سلول‌های CD34⁺ در محیط دو بعدی و سه بعدی [۱۵] به دو صورت منفرد و هم‌کشتی با StemSpanTM (Stem cell technologies Inc.) همراه با محیط (Peprotech) mmol/l ۲ کشت داده شدند. شارش . اولی برای بررسی ميزان تکثیر سلول‌ها از هموسیتومتر استفاده شد. سلول‌ها با استفاده از تریپان بلو

نمودی (2D) سلول‌های جدا شده و تائید شده در محیط کشت دو بعدی در حضور Stem Span و فاکتورهای اشاره شده کشت گردید. تعویض محیط هر دو روز یکبار انجام گردید. شکل ۲ (الف) تصویری از سلول‌های موجود در شرایط کشت دو بعدی را نشان می‌دهد.

نمونه اول‌های 2×10^4 سلول‌های $2D\text{-Co}$ میانگین ترتیب 776667 ± 25466 و 296667 ± 14905 می‌باشد (شکل ۵). میانگین گروه‌های $CD34^+$ از خلوص سلول‌های $CD34^+$ عبور داده شده از ستون MACS با استفاده از فلوسایتومتری حدود ۹۵٪ بود. میانگین درصد سلول‌های $CD34^+$ در روزهای ۵ و ۱۰ در گروه 2D به ترتیب $33/23 \pm 1/617$ و $42/93 \pm 2/554$ گروه 2D-Co به ترتیب $40/10 \pm 1/535$ و $49/10 \pm 2/551$ گروه 3D به ترتیب $68/53 \pm 2/121$ و $48/60 \pm 1/800$ گروه 3D-Co و گروه 3D به ترتیب $79/30 \pm 1/007$ و $55/13 \pm 1/007$ می‌باشد (شکل ۳). درصد این سلول‌ها در گروه 3D-Co از بقیه گروه‌ها در روز ۵ بیشتر بود و در حقیقت این گروه قابلیت بیشتری در حفظ بنیادینگی سلول‌های بنیادی خون‌ساز را داشته است. اگرچه درصد مارکر بنیادینگی $CD34$ در گروه 3D-Co در روز ۱۰ بیشتر از بقیه گروه‌ها بود ولی نسبت به روز ۵ کاهش یافت.

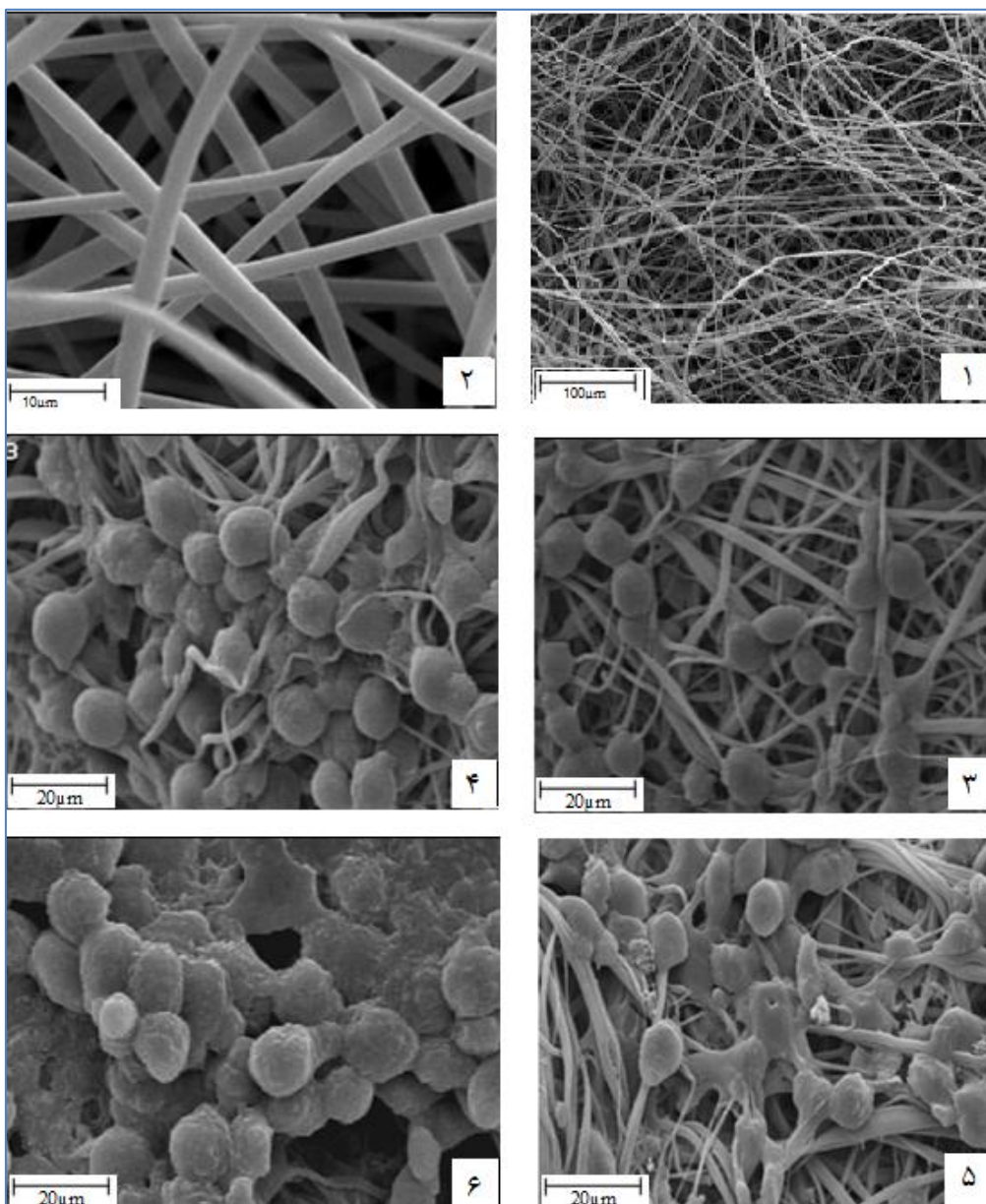
نتایج ۱-۱: سنجش کلňی قدرت کلنی‌زاوی سلول‌ها قبل و بعد از تکثیر در چهار وضعیت مورد مطالعه تحت بررسی قرار گرفتند. شکل ۴ کلنی‌های حاصل از سلول‌های کشت شده را نشان می‌دهد. تعداد کلنی‌های ایجاد شده در محیط methocult در شکل ۴ آورده شده است. نتایج سنجش کلنی نشان داد که قدرت کلنی‌زاوی در روز ۵ و ۱۰ کمتر از روز صفر است و در روزهای ۵ و ۱۰ گروه 3D-Co بالاتر از بقیه گروه‌ها است. اگرچه تعداد سلول افزایش می‌یابد ولی میزان مارکر $CD34$ کاهش می‌یابد با توجه به این‌که قدرت کلنی‌زاوی ارتباط مستقیمی با حفظ بنیادینگی دارد و در روز ۱۰ به علت کاهش مارکر $CD34$ در مقایسه با روز ۵ و روز صفر میزان کلنی‌زاوی نیز کاهش یافته است.

نمونه اول‌های 2×10^4 سلول‌های $2D\text{-Co}$ میانگین ترتیب 776667 ± 25466 و 296667 ± 14905 می‌باشد (الف) تصویری از سلول‌های موجود در شرایط کشت دو بعدی به صورت هم‌کشتی با $MSCs$ در حضور Stem Span و فاکتورهای اشاره شده کشت گردید. شکل ۲ (ب) تصویری از سلول‌های موجود در شرایط کشت دو بعدی به صورت هم‌کشتی با $MSCs$ را نشان می‌دهد.

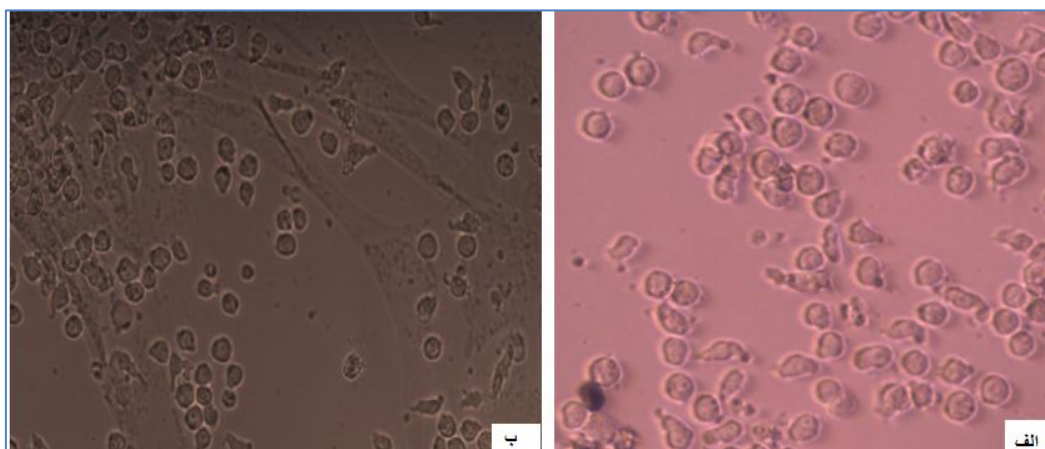
نمونه اول‌های 2×10^4 محیط سه بعدی (3D) همان‌گونه که گفته شد تعداد 5×10^4 سلول بر روی هر یک از داربست‌ها کشت گردید. هم‌چنان بعد از کشت HSCs بر روی داربست وضعیت سلول‌ها در روزهای مختلف مورد بررسی قرار گرفت. شکل ۳-۱ و ۴-۱ وضعیت سلول‌ها را در روزهای ۵ و ۱۰ بر روی داربست نشان می‌دهد.

نمونه اول‌های 2×10^4 سه بعدی به صورت هم‌کشتی اسلول‌های بنیادی انشیمی (3D-Co) داربست‌هایی که بر روی آن‌ها کاشته شده بودند در چاهک پشت و رو شدند، به نحوی که سطح مقابل در دسترس قرار گرفت. سپس 5×10^4 عدد از HSCs بر روی هر یک از داربست‌ها قرار داده شد. سپس وضعیت سلول‌های کشت شده در روزهای مختلف مورد بررسی قرار گرفت. شکل ۵-۱ و ۶-۱ وضعیت سلول‌ها را بر روی داربست‌های حاوی $MSCs$ در سطح زیرین نشان می‌دهد.

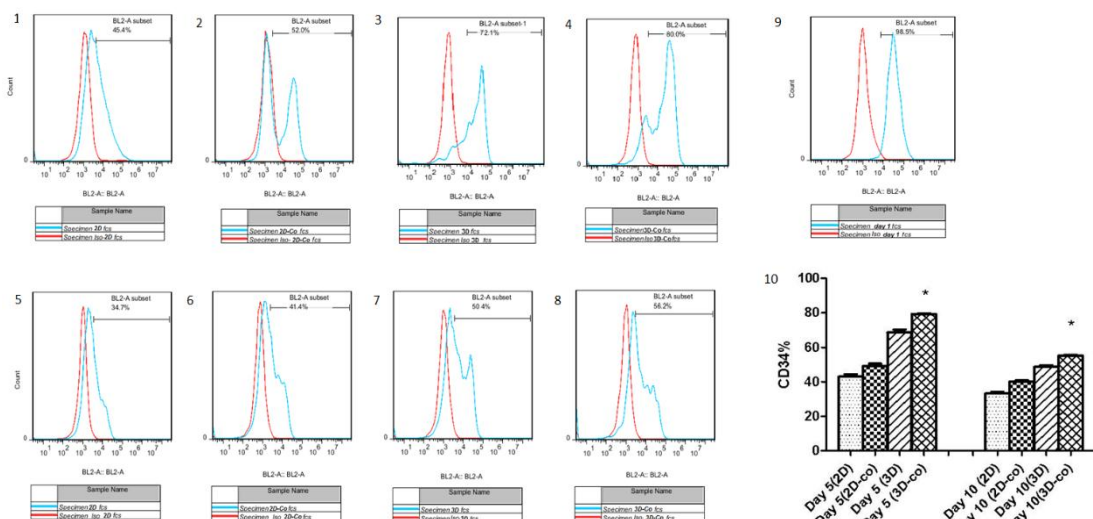
نتایج ۲-۱: نمونه اولی 2×10^4 در وضعیت مطالعه شمارش سلول‌ها در چهار وضعیت در روزهای ۵ و ۱۰ انجام گرفت. میانگین سلول‌های شمارش شده در روزهای ۵ و ۱۰ در گروه 2D به ترتیب 205000 ± 15000 و 278233 ± 27528 گروه 2D-Co به ترتیب 28431 ± 511667 و 286667 ± 15275 گروه 3D به ترتیب



شکل ۱. تصاویر میکروسکوپ الکترونی پویشی. (۱) و (۲) داربست های نانوالیاف پلی اتر سولفون؛ (۳) و (۴) تصویر سلول‌های کشت شده در حالت 3D (۳) روز ۵ کشت، (۴) روز ۱۰ کشت؛ (۵) و (۶) تصویر سلول‌های کشت شده در حالت 3D-Co (۵) روز ۵ کشت، (۶) روز ۱۰ کشت.



شکل ۲. تصویر سلول‌های کشت شده (الف) در حالت دو بعدی (2D); ب) همکشتی با سلول‌های بنیادی مژانشیمی (2D-Co). بزرگنمایی ×۴۰۰.



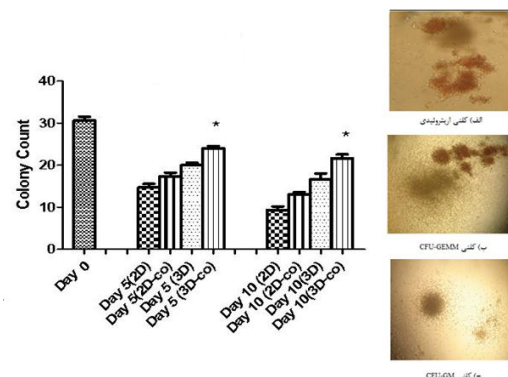
شکل ۳. نتایج فلوسایتومتری نشان داده شده یکی از سه تکرار می‌باشد. (۱-۱۰) نتایج فلوسایتومتری در روز ۵؛ (۸-۵) نتایج فلوسایتومتری در روز ۱۰؛ (۹) در

*P<0.05. آنالیز آماری مربوط به بررسی مارکر CD34 و سایر گروه‌ها.

بحث و نتیجه‌گیری

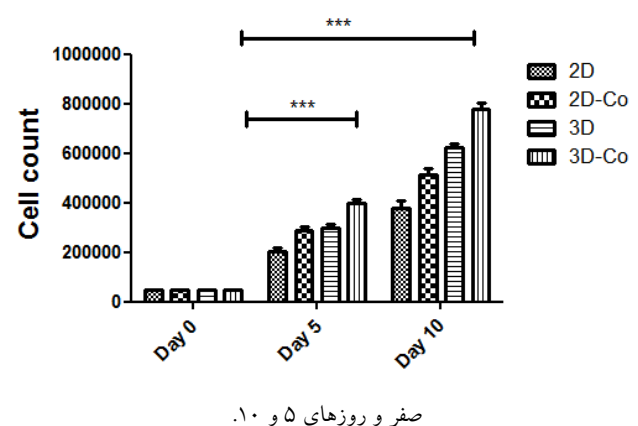
تأسیس بانک‌های خون بند ناف و نتایج موفقیت‌آمیز حاصل از پیوندهای خون بند ناف، باعث افزایش توجه به این منبع سلولی شده است. این منبع جهت بیمارانی کاربرد دارد که به دلایل مختلف دهنده مناسب مغز استخوان در اختیار ندارند [۱۹,۲۰]. یافتن یک روش موثر و کاربردی در زمینه تکثیر انسانی در ex vivo جهت استفاده از این سلول‌ها در درمان انواع اختلالات خونی و همچنین درمان حمایتی در بیماری‌های بدخیم ضروری است [۲۰].

کشت در محیط‌های دو بعدی یکی از روش‌های متداول تکثیر HSCs می‌باشد [۱۳]. اخیراً در یک کارآزمایی بالینی که توسط مرکز MD Anderson صورت گرفت. یک واحد خون بند ناف در یک سیستم همکشتی با MSCs در حضور SCF، G-CSF و FLT-3L، TPO در شرایط ex vivo تکثیر داده شدند. همکشتی HSCs با MSCs منجر به افزایش ۱۲ برابری در تعداد TNC، ۳۱ برابری در سلول‌های CD34⁺ و ۱۷/۵ در تعداد سلول‌های کلیزی گردید [۱۰,۲۱]. این افزایش در تعداد سلول‌ها احتمالاً به دلیل استفاده از MSCs به منظور فراهم ساختن محیط خون‌سازی، توانایی کشت کل واحد خون بند ناف به جای سلول‌های CD133⁺، به حداقل رساندن از



شکل ۴. سمت راست تصاویر مربوط به کلنی‌های حاصل از کشت سلول‌های CD34⁺. بزرگنمایی ×۱۰۰. سمت چپ نمودار مربوط به آنالیز شمارش کلنی بین گروه 3D-Co و سایر گروه‌ها. *P<0.05.

شکل ۵. آنالیز آماری مربوط به شمارش سلولی. P<0.001 *** بین روز



صفر و روزهای ۵ و ۱۰.

در مطالعه حاضر، از نانوالیاف‌های زیست سازگار از جنس پلی‌اترسولفون برای ایجاد محیط سه بعدی استفاده شد. همچنین در یکی از گروه‌های مورد مطالعه این داربست‌ها با MSCs پوشانده شدند. نتایج حاصل از شمارش سلولی نشان داد که همکشتی در محیط سه بعدی (3D-Co) بیشترین توانایی را در تکثیر HSCs دارد به نحوی که در این گروه مارکر CD34 بیان بالاتری به نسبت سایر گروه‌ها به همراه داشت که این مسئله نشان‌دهنده حفظ پتانسیل بنیادینگی سلول‌های تکثیر یافته می‌باشد. در ضمن قدرت کلی زایی این سلول‌ها در مقایسه با سلول‌های تکثیر شده در سه وضعیت دیگر اختلاف معنی‌داری را نشان داد. در مجموع، استفاده از نانوالیاف‌های پوشانده شده با MSCs و کشت HSCs در این وضعیت نشان داد که این نوع سیستم کشت دارای قدرت بالایی در حفظ حالت بنیادینگی HSCs در مقایسه با سایر گروه‌های مورد مطالعه می‌باشد. اگرچه بهتر است برای استفاده از این روش در بالین میزان پیوندپذیری و لانه‌گزینی سلول‌های تکثیر شده مورد ارزیابی قرار گیرند.

در این مطالعه نشان داده شد که تکثیر بالا سلول‌های CD34⁺ جدا شده از خون بند ناف بر روی نانوالیاف‌های پوشانده شده با MSCs در یک سطح و استفاده از سطح مقابل جهت کشت سلول‌های CD34⁺ امکان‌پذیر است. این سیستم کشت با هدف به کارگیری نقش حمایتی MSCs در تکثیر توام با حداقل تمايز سلول‌های CD34⁺ طراحی گردید و سبب افزایش بیشتری در تعداد کلی سلول‌ها و قدرت کلی زایی در مقایسه با سایر روش‌های مورد مطالعه گردید.

تشکر و قدردانی

این پژوهش در قالب پایان‌نامه دانشجویی در گروه هماتولوژی دانشگاه تربیت مدرس انجام شده است. بدین وسیله بر خود لازم می‌دانیم از تمامی اعضاء این گروه تقدير و تشکر نماییم.

دست دادن سلول‌های CD34⁺ در فرایند جداسازی مشبت و همچنین اضافه کردن FLT-3L به محیط کشت می‌باشد که در نتیجه آن میانگین زمان پیوندپذیری نوترفلیل ۱۴ و پلاکت ۳۵ روز گردید [۴].

در مطالعه‌ای لیستن (Leisten) و همکارانش محیطی سه بعدی با استفاده از کلاژن طراحی کردند، این داربست‌ها کلاژنی با MSCs مشتق از بند ناف و مغز استخوان پوشانده شده بودند. MSCs مشتق از هر دو منبع توانایی افزایش تکثیر MSCs را دارا بودند اما MSCs مشتق از بند ناف توانایی کمتری در حفظ پتانسیل بنیادینگی HSCs را داشتند و تکثیر آن‌ها همراه با تمايز بود و این سلول‌ها برای حفظ خودنوزایی و توانایی بازسازی طولانی مدت HSCs مناسب نبودند [۲۱].

Yan Li و همکارانش گزارش کردند که کشت در محیط‌های non woven ساخته شده از PET برهمکنش‌های سلول-سلول و سلول-ماتریکس را افزایش می‌دهد و اجزا توسعه بعدی سلول‌های خون‌ساز و استرومایی را می‌دهد [۱۲].

کشت در محیط‌های داربستی در واقع در نقش غشای پایه عمل می‌کند که منجر به افزایش سلول‌های بنیادی خون‌ساز و جنبی می‌شود [۲۲]. در این راستا Feng Qi و همکارانش داربست‌هایی کونزوگه با فیبرونکتین طراحی کردند. آن‌ها به این نتیجه رسیدند که این نوع داربست‌ها در مقایسه به محیط‌های کشت دوبعدی حاوی فیبرونکتین، میزان کارایی بالاتری دارند [۲۰]. علاوه بر این موسوی و همکارانش (۲۰۱۴) داربست‌هایی از جنس پلی‌کاپرولاتکتون که با فیبرونکتین پوشانده شده بود جهت تکثیر سلول‌های بنیادی خون‌ساز طراحی کردند. آن‌ها نشان دادند که تعداد کل سلول‌ها و همچنین سلول‌های CD34⁺ نسبت به محیط دو بعدی بیشتر است [۲۳]. اسکندری و همکارانش (۲۰۱۵) نیز از داربست‌هایی از جنس پلی‌اترسولفون کونزوگه با فیبرونکتین استفاده نمودند و مزیت استفاده از محیط سه بعدی در مقایسه با دو بعدی برای کشت سلول‌های بنیادی خون‌ساز را نشان دادند [۱۵].

[12] Li YAN, Ma T, Kniss DA, Yang S, Lasky LC. Cutting Edge Communication. *J Hematother Stem Cell Res* 2001; 368: 355-368.

[13] Tan J, Liu T, Hou L, Meng W, Wang Y, Zhi W, et al. Maintenance and expansion of hematopoietic stem/progenitor cells in biomimetic osteoblast niche. *Cytotechnology* 2010; 62: 439-448.

[14] Aggarwal R, Lu J, Pompili VJ, Das H. Hematopoietic stem cells: transcriptional regulation, ex vivo expansion and clinical application. *Curr Mol Med* 2012; 12: 34.

[15] Eskandari F, Allahverdi A, Nasiri H, Azad M, Kalantari N, Soleimani M, et al. Nanofiber expansion of umbilical cord blood hematopoietic stem. *Iran J Ped Hematol Oncol* 2015; 5: 170-178.

[16] Liu X, Ma PX. Polymeric scaffolds for bone tissue engineering. *Ann Biomed Eng* 2004; 32: 477-486.

[17] Jing D, Fonseca AV, Alakel N, Fierro FA, Muller K, Bornhauser M, et al. Hematopoietic stem cells in co-culture with mesenchymal stromal cells -modeling the niche compartments in vitro. *Haematologica* 2010; 95: 542-550.

[18] Shahrabi S, Kaviani S, Solimani M, Porfatolah AA, Zonubi Z. Effects of in vitro expansion of CD133+ hematopoietic stem cells isolated from umbilical cord blood in expression of microRNAs involved haematopoiesis. *Koomesh* 2013; 15: 11-16.

[19] Kato for the Japan Cord Blood Bank S. Cord blood banking and cord blood transplantation. *ISBT Sci Ser* 2008; 3: 211-212.

[20] Feng Q, Chai C, Jiang X, Leong KW, Mao H. Expansion of engrafting human hematopoietic stem/progenitor cells in three-dimensional scaffolds with surface-immobilized fibronectin. *J Biomed Mater Res A* 2006; 78: 781-791.

[21] Leisten I, Kramann R, Ventura Ferreira MS, Bovi M, Neuss S, Ziegler P, et al. 3D co-culture of hematopoietic stem and progenitor cells and mesenchymal stem cells in collagen scaffolds as a model of the hematopoietic niche. *Biomaterials* 2012; 33: 1736-1747.

[22] Dellatore SM, Garcia AS, Miller WM. Mimicking stem cell niches to increase stem cell expansion. *Curr Opin Biotechnol* 2008; 19: 534-540.

[23] Mousavi SH, Abroun S, Soleimani M, Mowla SJ. Expansion of human cord blood hematopoietic stem / progenitor cells in three-dimensional Nanoscaffold coated with Fibronectin. *Int J Hematol stem cell Res* 2015; 9: 72-79.

منابع

- [1] Yang J, Aguila JR, Alipio Z, Lai R, Fink LM, Ma Y. Enhanced self-renewal of hematopoietic stem/progenitor cells mediated by the stem cell gene Sall4. *J Hematol Oncol* 2011; 4: 38.
- [2] Walasek MA, van Os R, de Haan G. Hematopoietic stem cell expansion: challenges and opportunities. *Ann N Y Acad Sci Wiley Online Library* 2012; 1266: 138-150.
- [3] Schuster JA, Stupnikov MR, Ma G, Liao W, Lai R, Ma Y, et al. Expansion of hematopoietic stem cells for transplantation: current perspectives. *Exp Hematol Oncol* 2012; 1: 12.
- [4] Robinson SN, Simmons PJ, Yang H, Alousi AM, Marcos de Lima J, Shpall EJ. Mesenchymal stem cells in ex vivo cord blood expansion. *Best Pract Res Clin Haematol* 2011; 24: 83-92.
- [5] Wilson A, Trumpp A. Bone-marrow haematopoietic-stem-cell niches. *Nat Rev Immunol* 2006; 6: 93-106.
- [6] Nishino T, Osawa M, Iwama A. New approaches to expand hematopoietic stem and progenitor cells. *Expert Opin Biol Ther* 2012; 12: 743-756.
- [7] Jing D, Fonseca AV, Alakel N, Fierro FA, Muller K, Bornhauser M, et al. Hematopoietic stem cells in co-culture with mesenchymal stromal cells - modeling the niche compartments in vitro. *Haematologica* 2010; 95: 542-550.
- [8] Solali S, Kaviani S, Soleimani M, Zonubi Z. Isolation and characterization of mesenchymal stem cells derived from adipose tissue. *Koomesh* 2015; 16: 505-511. (Persian).
- [9] Robinson SN, Ng J, Niu T, Yang H, McMannis JD, Karandish S, et al. Superior ex vivo cord blood expansion following co-culture with bone marrow-derived mesenchymal stem cells. *Bone Marrow Transplant* 2006; 37: 359-366.
- [10] Bari S, Seah KK, Poon Z, Cheung AM, Fan X, Ong SY, Li S, et al. Expansion and homing of umbilical cord blood hematopoietic stem and progenitor cells for clinical transplantation. *Biol Blood Marrow Transplant* 2015; 21: 1008-1019.
- [11] Jozaki T, Aoki K, Mizumoto H, Kajiwara T. In vitro reconstruction of a three-dimensional mouse hematopoietic microenvironment in the pore of polyurethane foam. *Cytotechnology* 2010; 62: 531-537.

Expansion of umbilical cord blood hematopoietic stem cells on biocompatible nanofiber scaffold as co-culture with bone marrow derived mesenchymal stem cells

Majid Mokhtari (Ph.D Student)¹, Azadeh Anbarlou (M.Sc)¹, Amir Atashi (Ph.D)^{*1}, Masoud Soleimani (Ph.D)¹, Mahshid AkhavanRahnama (M.Sc)²

1 – Dept. of Hematology, School of Medical Science, Tarbiat Modares University, Tehran, Iran

2 – Dept. of Hematology, Faculty of Medicine, Tabriz University of Medical Science, Tabriz, Iran

(Received: 4 Jan 2016; Accepted: 14 Nov 2016)

Introduction: Hematopoietic stem cell transplantation (HSCT) is one of the treatment approaches for malignant and non-malignant hematologic diseases. The most important disadvantage of UCB in HSCT is low number of cells that can be collected. So, different systems for ex vivo expansion of HSCs were designed to overcome this limitation. The goal of this study was to examine different conditions of ex vivo expansion of HSCs.

Materials and Methods: In this study, HSCs were cultured in four conditions: 1- In two-dimensional culture (2D), 2- Co-culture with mesenchymal stem cells (MSCs) in 2-D (2D-Co), 3- In three-dimensional culture (constructed with poly eter sulfon nanofibers) (3D), and 4- Co - culture with MSCs in 3-D (3D-Co).

Results: The comparison of these groups showed that 3D-Co group had more expansion levels and expression of CD34 marker than other groups. Moreover, the clonogenic capacity in this group was increased in comparison to other groups.

Conclusion: The results of our study showed that the possibility usage of this system for expansion with lowest levels of differentiation in CD34+ HSCs. Further studies are needed to evaluate expanded cells with this system to use in clinical practice.

Keywords: Hematopoietic Stem Cell Transplantation, Nanofiber, Mesenchymal Stem Cells, Coculture Techniques

* Corresponding author. Tel: +98 21 82883579

atashia@modares.ac.ir